

DAFTAR PUSTAKA

- Alfarizi, Y., Tedja Trisnaning, P., Studi Teknik Geologi, P., & Teknologi Mineral Institut Teknologi Nasional Yogyakarta Jl Babarsari, F. (2020). Analisis Geokimia Xrf Untuk Menentukan Kualitas Batugamping Di Bukit Tarjarang Pt. Semen Padang, Indarung, Kec. Lubuk Kilagan, Padang, Sumatra Barat. *Jurnal GEODA*, 01(02), 19–28.
- Atmoko, D.D., Titisari, A.D., & Idrus, A. (2018). Geochemical Characteristics of Limestone of Wonosari-Punung Formation, Gunungkidul Regency, Yogyakarta, Indonesia. *Indonesian Journal on Geoscience*. 5(2), 179-197.
- Bertin, E. P. (1975). *Principles and Practice of X-Ray Spectrometric Analysis*. Plenum Press, New York.
- Brouwer, P.. (2003). *Theory of XRF: getting acquainted with the principles*. PANalytical.
- Choerunnisa, T., Haryanto, A. D., Arfiyansyah F. K., Hutabarat, J., & Handientri, Z., (2019). Karakteristik Kimia Batugamping Kompleks Kromong Kabupaten Cirebon. *Padjajaran Geoscience Journal*, 3(6), 449-458.
- Devi, K. R., & Duarah, B. P. (2015). Geochemistry of Ukhrul limestone of Assam-Arakan subduction basin, Manipur, Northeast India. *Journal of the Geological Society of India*. 85, 367-376.
- Duda, W. H. (1976). *Cement Data Book, ed-2 Mc. Donald & Evans*: London.
- Dwiyanto, F.A., Pulungan, L., & Nasrudin, D. (2022). Karakteristik Mineral Kalsit pada Bahan Galian Batugamping di Kecamatan Cikembar, Kabupaten Sukabumi, Provinsi Jawa Barat. *Bandung Conference Series: Mining Engineering*. 2(2), 382-389.
- Ehinola, O. A., Ejeh, O. I., & Oderinde, O. J. (2016). Geochemical characterization of the Paleocene Ewekoro limestone formation, SW Nigeria: implications for provenance, diagenesis and depositional environment. *Geomaterials*, 6(03), 61-77.
- Eyles, N., Eyles, C.H., & Miall, A.D. (1988). Glacial facies models. *Geology*, 16, 374-375.
- h, J.R., Graf, D.L., & Joensuu, O.I. (1955). The occurrence of magnesian ulcites in nature. *Geochimica et Cosmochimica Acta*, 7, 212-230.



- Hidayat, P. M. & Falensky, M. A.. (2019). Analisis Kesesuaian Pertambangan Batu Kapur Menggunakan Sig Di Provinsi Sulawesi Selatan, Yogyakarta: *Seminar Nasional Geografi III*.
- Hohn, M.E. (1991). An Introduction to Applied Geostatistics: by Edward H. Isaaks and R. Mohan Srivastava, 1989, Oxford University Press, New York. *Computers & Geosciences*, 17, 471-473.
- Hubert, J.F. (1962). A Zircon-Tourmaline-Rutile Maturity Index and the Interdependence of the Composition of Heavy Mineral Assemblages with the Gross Composition and Texture of Sandstones. *Journal of Sedimentary Research*, 32, 440-450.
- Jamaludin, A. dan Adiantoro, D. (2012). Analisis Kerusakan X-Ray Fluorescence (XRF). *Pusat Teknologi Bahan Bakar Nuklir*, 5(9), 19-28.
- Jodry, R. L.. (1955). Rapid method for determining Mg/Ca ratio of well samples and its use in predicting structure and secondary porosity in calcareous formations: Am. Assoc. *Petroleum Geologists Bull.*, Vol. 3, 493- 511.
- Johnson, C., Affolter, M. D., Inkenbrandt, P., & Mosher, C. (2017). 5 Weathering, Erosion, and Sedimentary Rocks. *An Introduction to Geology*.
- Laraebi, Galid. (2017). Karakterisasi Kandungan Mineral dan Unsur Penyusun Batugamping pada PT Semen Tonasa. *Skrpsi, Fakultas Sains dan Teknologi, UIN Alauddin Makassar*.
- Madiadipoera, T. (2006). *Bahan Galian Industri di Indonesia*. Pusat Sumber Daya Geologi, Departemen ESDM, Jakarta,. 1-48.
- Marschner, H. (1968). Ca-Mg-Distribution in Carbonates from the Lower Keuper in NM-Germany. In: Muller G. and Friedman, G.M., Eds., *Recent Developments in Carbonate Sedimentary in Central Europe*, Springer-Verlag, Berlin Heidelberg, 128-135.
- Mulyono, M., Sukadi, S., Sihono, S., Rosidi, R., & Irianto, B.S. (2012). Kalibrasi Tenaga Dan Standar Menggunakan Alat X-Ray Fluorescence (XRF) Untuk Analisis Unsur Zirkonium Dalam Mineral. *Jurnal Penelitian dan Pengolahan Perangkat Nuklir*. 228-232.
- Noor, D. (2012). *Pengantar Geologi*. Deepublish: Bogor.



ito, A. (2015). Analisis kualitas batugamping sebagai bahan baku utama semen portland pada PT. Semen Tonasa Provinsi Sulawesi Selatan. *Jurnal eomine*, 2(1).

- Pramono, G. H. (2008). Akurasi metode IDW dan kriging untuk interpolasi sebaran sedimen tersuspensi. *Forum Geografi*, 22(1), 97-110.
- Purnomo, H., & Wijaya, R. A. E. (2022). Pemetaan sebaran kadar Al₂O₃ dan RSiO₂ pada endapan laterit bauksit menggunakan pendekatan metode interpolasi ordinary Kriging dan inverse distance weighting. *Angkasa: Jurnal Ilmiah Bidang Teknologi*, 14(1), 75-86.
- Rohmala, F. K., Mamengko, D. V., Wiratama, R., Kusumo, P. A., & Musu, J. T. (2020). Analisis Lingkungan Pengendapan Formasi Batugamping Dayang Distrik Batanta Utara, Kabupaten Raja Ampat, Provinsi Papua Barat (Depositional Environment Analysis Of Bayang Limestone Formation, North Batanta District, Raja Ampat Region, West Papua Province).
- Rumabar, A. M., & Gaspersz, R. S. (2021). Uji Parameter Kimia BatuGamping Sebagai Bahan Baku Semen Pada Lokasi Penambangan Cv Thiak Kelurahan Ardipura Kota Jayapura. *DINAMIS*, 18(2), 101-105.
- Sly, P.G. (1978). *Sedimentary Processes in Lakes*. Springer: New York.
- Sukamto. Rab. (1982). Peta Geologi Lembar Pangkajene dan Watampone Bagian Barat Sulawesi skala 1:250.000. Pusat Penelitian dan Pengembangan Geologi Bandung.
- Sukandarrumidi. (2018). *Bahan Galian Industri*. Yogyakarta: Gadjah Mada University Press
- Supardi, N., Imran, A. M., & Farida M. (2014). Lingkungan Pengendapan Batuan Karbonat Formasi Tonasa Pada Daerah Karama Kecamatan Bangkala Kabupaten Jeneponto Provinsi Sulawesi Selatan. *Geosains*, 10(2), 58-67.
- Todd, T. W. (1966). Petrogenetic Classification Of Carbonate Rocks. Dalam *Journal Of Sedimentary Petrology*, 36(2), 317-340.
- Tucker, M.E. & Wright, V.P. (1990). *Carbonate Sedimentology*. Blackwell Scientific Publications: Oxford, 482 pp.



LAMPIRAN

Lampiran 1. Koordinat dan Elevasi Titik sampel



Elevasi (mdpl)	Koordinate	
	Long	Lat
37	119,623028	-4,785889

Blok	Elevasi (mdpl)	Koordinate	
		Long	Lat
B4.2	31	119,622889	-4,787111
B4.3	34	119,625444	-4,788722
B4.4	46	119,624472	-4,788750
B4.5	47	119,624722	-4,786500
B5.1	86	119,624167	-4,789056
B5.2	93	119,625806	-4,790667
B5.3	89	119,624778	-4,789833
B5.4	88	119,626528	-4,789528
B5.5	59	119,625528	-4,787444
B7.1	51	119,624056	-4,792083
B7.2	56	119,624417	-4,791667
B7.3	59	119,624855	-4,791989
B7.4	50	119,623333	-4,790583
B7.5	61	119,625038	-4,791630
B8.1	129	119,626628	-4,787036
B8.2	124	119,626228	-4,786722
B8.3	149	119,628583	-4,787222
B8.4	135	119,625972	-4,785972
B8.5	116	119,626478	-4,787542
B9.1	140	119,627005	-4,790568
B9.2	140	119,627194	-4,790322
B9.3	161	119,628239	-4,788700
B9.4	132	119,627406	-4,790372
B9.5	128	119,627583	-4,790594
B10.1	186	119,630194	-4,789306
B10.2	199	119,630944	-4,789000
B10.3	186	119,630611	-4,789528
B10.4	195	119,630778	-4,789917
B10.5	205	119,631000	-4,790333
B11.1	237	119,630136	-4,791161
B11.2	236	119,630500	-4,791222
B11.3	233	119,630356	-4,790894
B11.4	228	119,630194	-4,791417
	222	119,629936	-4,791300
	232	119,628739	-4,791325
	227	119,628442	-4,791825
	224	119,627972	-4,791556



Blok	Elevasi (mdpl)	Koordinate	
		Long	Lat
B12.4	223	119,628278	-4,791472
B12.5	220	119,628083	-4,791889

Lampiran 2. Preparasi Sampel

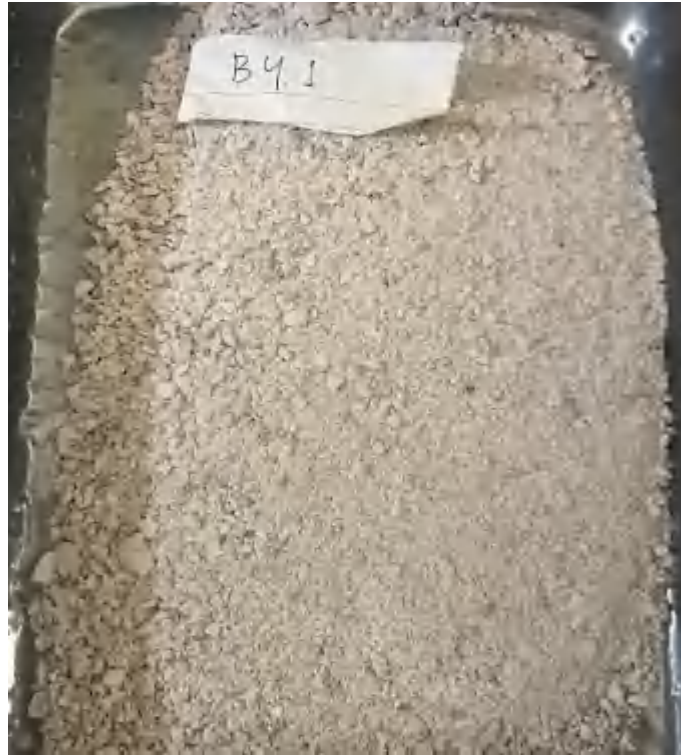
- Bongkahan Sampel



hasil *Jaw Crusher*



hasil Disk Milk



hasil press





- Sampel hasil uji XRF



n 3. Dokumentasi Kegiatan

